

破壊状態におけるストレス-ダイレイタンス式 軸対称圧縮状態におかれた供試体のエネルギー釣合式を Roscoe<sup>1)</sup>の記号を用いて考察する。供試体内部で消散されるエネルギー増分  $dW$  は、(1) せん断変形に伴う粒子表面摩擦成分;  $Mpd\varepsilon$  (ただし、 $M = (6 \cdot \sin \phi_w) / (3 - \sin \phi_w)$ )<sup>2)</sup>, (2) 粒子の滑動に伴う摩擦成分;  $dW'$ , および (3) 粒子破碎に消費される成分;  $dW''$  から成っているであろう。したがって、エネルギー釣合は図-1 に示すように

$$\left(\frac{q}{p}\right) = M - \frac{dV}{d\varepsilon} + \underbrace{(dW' + dW'' + dU)}_R / (pd\varepsilon) \dots \dots \dots (1)$$

ここに、 $dU$  は供試体に可逆成分として蓄えられるエネルギー。

さて、同一試料を間隙比や側圧  $\sigma_3$  をかえて排水試験すると、破壊直は図-2 の線分  $\overline{AB}$  のような直線上に並ぶ。Rowe<sup>3)</sup> は、この破壊状態線の位置が供試体寸法に影響されるとのみ述べている。

しかしながら、この線分の縦軸切片は理論上 Roscoe の  $M (= (6 \sin \phi_w) / (3 - \sin \phi_w))$  となることでもあり、物理的意味を持つと考えられる。

図-3 は、著者がこれまでに行った  $\sigma_3 \leq 15 \text{ kgf/cm}^2$  までの試験結果である。a) は、豊浦標準砂およびそれと同じ粒度に調整した試料の結果である。三浦<sup>6)</sup>の  $\sigma_3 = 300 \text{ kgf/cm}^2$  に及ぶ試験では、粒子が等方圧力下で破碎されはじめた圧力 ( $100 \text{ kgf/cm}^2$ ) で収縮が最大となり、 $\sigma_3$  がそれより大きくなると、同じ線上を  $M$  へ逆行している。b) は、試料を相似粒度を持つように調整した場合である。(砕砂と海砂の粒度分布は文献<sup>5)</sup>)、マサ小径は、豊浦砂に違い。) 砕砂とマサは粉碎により小粒径試料を得たが、海砂はふるい分けだけで調整した。

せん断強さの推定法 同じ母岩から得られた相似粒度の試料 A, B の一方だけを三軸圧縮試験し、その結果から他方の試料が任意の  $\sigma_3$  と  $n$  におかれた時に発揮するせん断強さを推定したい。まず、図-3b により、両試料は共通のストレス-ダイレイタンス式を持つと仮定する。すなわち、

$$\left(\frac{q}{p}\right)_f = -a \left(\frac{dV}{d\varepsilon}\right)_f + M \dots \dots \dots (2)$$

そうすると、せん断強さ  $(q/p)_f$  を推定する問題は、破壊時におけるダイレイタンス係数  $(dV/d\varepsilon)_f$  を推定する問題に変わる。

ところで、ダイレイタンスは、土の骨格構造の変化に伴う現象であるから、ダイレイタンスを支配する法則を探るには試料に作用する応力が土粒子接触に与える影響を見積ることが有用であろう。Marsal<sup>7)</sup> は、球状粒子の圧裂荷重  $P_a$  と

$$P_a = k \cdot r^2 \quad (\text{ただし、} k: \text{材料定数, } r: \text{粒子半径})$$

と推論している。一方、等大球で構成された試料の間隙率と  $n$  とすると、単位体積試料中の接触総数  $N$  は

$$N = 0.24g(n)(1-n)r^{-3} \quad (\text{ただし、} g(n) \text{ は 1 球当りの接触数), \text{ となる。したがって、} \text{接触に圧裂荷重が作用す}$$

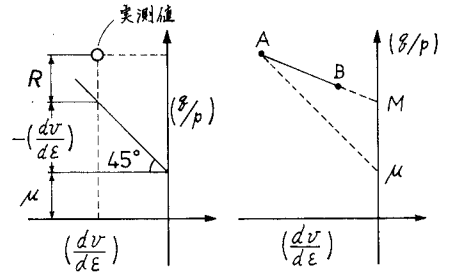


図-1

図-2

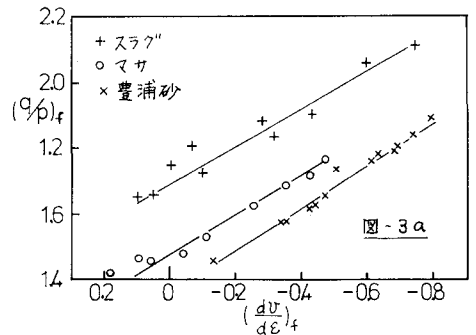


図-3a

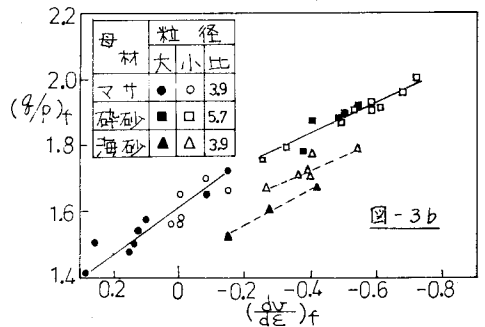


図-3b

るために必要な応力  $\sigma_u$  は、

$$\sigma_u = P_a \cdot N^{\frac{2}{3}} = k f(n) r^{-m} \dots (3)$$

ただし、 $f(n)$  は  $n$  の減少関数、 $m$  の理論値は、 $m = 0.5$ 。

粒子が破碎しやすいとダイレイタンスは抑制されるから、

$(dv/d\varepsilon)_f$  は、 $(\sigma_3/\sigma_u)$  で決まると仮定してみる。とすれば  
試料Aの初期間隙率  $n_A$  を一定にして、 $\sigma_3$  をかえた試験と多数行

$$\dots \text{って、} \quad (dv/d\varepsilon)_f = F_A(\sigma_3) \dots (4)$$

を得ておくと、任意の  $\sigma_3$  と  $n$  のもとにおける試料Bのダイレイ  
タンスは次式で推定できることになる；

$$(dv/d\varepsilon)_f = F_A(\sigma_{3B}) \dots (5)$$

ただし、

$$\sigma_{3B} = (\sigma_3)_B \times \left(\frac{r_B}{r_A}\right)^m \times \frac{f(n_A)}{f(n_B)} \dots (6)$$

ここに、 $(\sigma_3)_B$ ：試料Bに作用する  $\sigma_3$ 、 $(r_B/r_A)$  は相似比（粒径比）  
、 $n_B$  は試料Bの間隙率。

式(4)は、粒子が等方圧力下で破碎されはじめる圧力以下では  
1価関数である。図-4は、図-3bの資料から使試体作製時の  
締固め回数が一定(30回)のものを選び出し、 $\sigma_3$  について整理し  
たものである。今、小粒径試料を基準にとれば、式(4)の実験式

は図-4より；  $(dv/d\varepsilon)_f = b \log \sigma_3 + c \dots (4)'$

したがって、大粒径試料の式は、式(5)、(6)より；

$$\left(\frac{dv}{d\varepsilon}\right)_f = b \log \sigma_{3B} + m b \log \left(\frac{r_B}{r_A}\right) + b \log \frac{f(n_A)}{f(n_B)} + c \dots (5)'$$

図-4において3組の相似試料は、それぞれ平行線を引き得るの

で、式(5)'の右辺第1項は満たされている。使試体の作製手法からみて、第3項は小さいので無視すると、図上  
の大・小試料の縦距は第2項に等しい。そこで第2項中の  $m$  を逆算すると、砕砂：0.35、海砂：0.91、マサ：0.99  
となった。つぎに、図-5は、式(5)'の第3項を検討するための図である。いかれも  $\sigma_3 = 1.5 \text{ kgf/cm}^2$  における  
結果であろうが、初期間隙率が変えてある。資料数は少ないが、一応  $(dv/d\varepsilon)_f = b'n + c'$  が成立している  
と見ると、

$$f(n_A)/f(n_B) = 10^{\frac{b'}{b}(n_B - n_A)} \dots (7)$$

よって、式(6)は

$$\sigma_{3B} = (\sigma_3)_B \times \left(\frac{r_B}{r_A}\right)^m \times 10^{\frac{b'}{b}(n_B - n_A)} \dots (6)'$$

ここに、指数  $b$ 、 $b'$  は、基準試料の試験結果を図-4、5のように整理して得られる直線の勾配である。 $m$  の  
値は一定値が得られなかったが、その値が小さい程、破碎されにくいことがわかっている。したがって、式(6)  
の中に材料定数  $k$  (式(3)) が生き残るような議論を組み立てる必要がある。

実験担当者 堤肇、木下靖 両氏に謝意を表する。

参考文献 1) Roscoe 他, Yielding of Clays..., Géotechnique, Vol. 13, 1963. 2) 堤肇, 土木学会論  
文報告集, No. 273, p87, 1978. 3) Rowe, The Stress-dilatancy Relation..., Royal Society of Lon  
don, Series A, Vol. 269. 4) 土木学会35回年次学術講演会, III-19. 5) 同36回, III-23. 6) 三浦他,  
高拘束圧下における標準砂の..., 土木学会論文報告集, No. 193, 1971. 7) "Embankment-Dam Engineer  
ing," 中の Marsal 論文, p133. John Wiley, 1972.

